

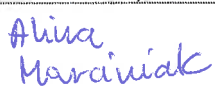
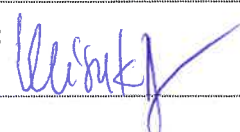
LISTA METOD BADAŃ LABORATORIUM

LP.	BADANA CECHA	BADANY MATERIAŁ	METODA BADAWCZA	DOKUMENT ODNIESIENIA
BADANIA AKREDYTOWANE				
1.	Obecność <i>Clavibacter sepedonicus</i>	Bulwy ziemniaka (<i>Solanum tuberosum</i>)	Test immunofluorescencji (IF) Metoda hodowlana Test biologiczny Test patogeniczności	Protokół diagnostyczny EPPO PM 7/97 (1), wrzesień 2009 Protokół diagnostyczny EPPO PM 7/59 (2), marzec 2021
2.	Obecność DNA <i>Clavibacter sepedonicus</i>	Bulwy ziemniaka (<i>Solanum tuberosum</i>)	Metoda PCR Metoda RFLP	Protokół diagnostyczny EPPO PM 7/59 (2) Wytyczne GIORiN CL.702.16.2022.1 z dnia 29.08.2022
	Obecność DNA <i>Clavibacter sepedonicus</i>		Metoda Real-time PCR	Protokół diagnostyczny EPPO PM 7/59 (2), marzec 2021 załącznik 8. Wytyczne GIORiN CL.702.16.2022.1 z dnia 29.08.2022
3.	Obecność <i>Ralstonia solanacearum</i> kompleks gatunków (<i>Ralstonia solanacearum</i> , <i>R. pseudosolanacearum</i> , <i>R. syzygii</i>)	Bulwy ziemniaka (<i>Solanum tuberosum</i>)	Test immunofluorescencji (IF)	Protokół diagnostyczny EPPO PM 7/97 (1), wrzesień 2009 Protokół diagnostyczny EPPO PM 7/21 (3), grudzień 2021
4.	Obecność <i>Pantoea stewartii</i> subsp. <i>stewartii</i>	Nasiona kukurydzy (<i>Zea mays</i>)	Test immunofluorescencji (IF)	Protokół diagnostyczny EPPO PM 7/97 (1) wrzesień 2009 Protokół diagnostyczny EPPO PM 7/60 (2) kwiecień 2016
5.	Obecność <i>Synchytrium endobioticum</i>	Gleba, podłoże uprawowe	Metoda przesiewania B	Protokół diagnostyczny EPPO PM 7/28 (2), czerwiec 2017
6.	Obecność <i>Phytophthora ramorum</i>	Drzewa i krzewy (ozdobne, owocowe, leśne), rośliny zielne, gleba, podłoże uprawowe	Metoda hodowlana Metoda mikroskopowa Metoda pułapkowa	PB/M-04.00 wyd. 4 z dnia 01.09.2022
7.	Obecność <i>Tilletia controversa</i> , <i>Tilletia caries</i>	Nasiona zbóż i traw, ziarno zbóż	Metoda obmywania i odwirowywania Metoda mikroskopowa Metoda epifluorescencji	Protokół diagnostyczny GIORiN nr 7 wydanie 2 z dnia 23.11.2023
8.	Obecność <i>Tilletia indica</i>		Metoda mikroskopowa	Protokół diagnostyczny EPPO PM 7/29 (3) listopad 2017
9.	Obecność <i>Longidorus</i> spp., <i>Xiphinema</i> spp.	Gleba, podłoże uprawowe	Metoda ekstrakcji z zastosowaniem aparatu Oostenbrinka Metoda mikroskopowa	Protokół diagnostyczny EPPO PM 7/119 (1), wrzesień 2013 Protokół diagnostyczny EPPO PM 7/145 (1), październik 2020 Protokół diagnostyczny ISPM 27 DP 11, 2016
10.	Obecność <i>Globodera rostochiensis</i> , <i>Globodera pallida</i>	Gleba, podłoże uprawowe	Metoda ekstrakcji z zastosowaniem automatycznego ekstraktora cyst Metoda mikroskopowa	Instrukcja techniczna nr 1 wyd. 1 z dnia 07.09.2022 Protokół Diagnostyczny EPPO PM 7/40 (5), październik 2021

11.	Obecność DNA <i>Globodera rostochiensis</i> , <i>Globodera pallida</i>	Gleba, podłoże uprawowe	Metoda multiplex PCR	Protokół diagnostyczny EPPO PM 7/40 (5), październik 2021 Wytyczne GIORiN CL.702.7.2023.1 z dnia 30.03.2023
12.	Obecność <i>Bursaphelenchus grupa „xylophilus”</i>	Drewno	Metoda ekstrakcji nicieni z drewna Metoda mikroskopowa	Protokół diagnostyczny ISPM 27 DP 10, 2016
13.	Obecność DNA <i>Bursaphelenchus xylophilus</i> , <i>Bursaphelenchus mucronatus</i>	Drewno	Metoda PCR	Protokół diagnostyczny EPPO PM 7/4(4), styczeń 2023 Wytyczne GIORiN CL.702.8.2023.2 z dnia 19.03.2024.
14.	Obecność <i>Ditylenchus destructor</i> , <i>Ditylenchus dipsaci</i>	Rośliny (korzenie, bulwy, bulwocebule, cebule, kłącza, nasiona)	Metoda Baermanna Metoda mikroskopowa	Protokół diagnostyczny EPPO PM 7/119 (1), wrzesień 2013 Protokół diagnostyczny ISPM 27 DP 8, 2016
15.	Obecność DNA <i>Ditylenchus destructor</i> , <i>Ditylenchus dipsaci</i>	Rośliny (korzenie, bulwy, bulwocebule, cebule, kłącza, nasiona)	Metoda multiplex PCR	Protokół diagnostyczny EPPO PM 7/87 (2), kwiecień 2017 Wytyczne GIORiN CL.702.9.2023.1 z dnia 30.03.2023
16.	Obecność wirusów: Potato virus A (PVA) Potato virus M (PVM) Potato virus S (PVS) Potato leafroll virus (PLRV) Potato virus X (PVX) Potato virus Y (PVY)	Bulwy ziemniaka (<i>Solanum tuberosum</i>)	Metoda próby oczkowej Metoda DAS ELISA	PB/W-03.00 wyd. 8 z dnia 07.07.2021
18.	Obecność RNA <i>Pospiviroid Potato spindle tuberviroid (PSTVd)</i>	Rośliny ziemniaka (<i>Solanum tuberosum</i>)	Metoda RT-PCR	Protokół diagnostyczny EPPO PM 7/138 (1), październik 2020 Wytyczne GIORiN CL.702.11.2023.1 z dnia 20.06.2023
19.	Obecność RNA <i>Pospiviroid Chrysanthemum stund viroid (CSVd)</i>	Rośliny z rodzaju złociień (<i>Chrysanthemum</i>)	Metoda RT-PCR	Protokół diagnostyczny EPPO PM 7/138 (1), październik 2020 Wytyczne GIORiN CL.702.11.2023.1 z dnia 20.06.2023
20.	Obecność <i>owadów i roztoczy</i>	Nasiona, produkty roślinne sypkie, gleba, podłoże uprawowe, owady – postaci dorosłe	Metoda przesiewania i przeglądania	Protokół diagnostyczny GIORiN nr 1 wydanie 2 z dnia 26.04.2024
21.	Obecność <i>Rhizopertha dominica</i>		Metoda mikroskopowa	Protokół diagnostyczny GIORiN nr 2 wydanie 1 z dnia 24.08.2022
22.	Obecność <i>nasion chwastów i roślin pasożytniczych</i>		Metoda przesiewania i przeglądania	Protokół diagnostyczny GIORiN nr 1 wydanie 2 z dnia 26.04.2024
23.	Obecność <i>Ambrosia artemisifolia</i>	Nasiona, produkty roślinne sypkie, gleba, podłoże uprawowe,	Metoda mikroskopowa	Protokół diagnostyczny GIORiN nr 4 wydanie 1 z dnia 24.08.2022
24.	Obecność <i>Cuscuta spp.</i>		Metoda mikroskopowa	Protokół diagnostyczny GIORiN nr 3 wydanie 1 z dnia 24.08.2022 r.

BADANIA NIEAKREDYTOWANE				
25.	Obecność <i>Tilletia</i> spp.	Nasiona i ziarno zbóż i traw	Metoda obmywania i odwirowywania Metoda mikroskopowa	Protokół diagnostyczny GIORiN nr 7 wydanie 2 z dnia 23.11.2023
26.	Obecność <i>Stenocarpella</i> spp/ <i>Cochiobolus</i> spp.	Nasiona kukurydzy	Metoda hodowlana Metoda mikroskopowa	PB/M-03.00 wyd. 3 z dnia 06.07.2021
27.	Obecność nicieni *	Rośliny, gleba i podoże uprawowe	Metoda Baermanna Metoda z zastosowaniem aparatu Oostenbrinka Metoda z zastosowaniem automatycznego ekstraktora cyst Metoda mikroskopowa	Protokół diagnostyczny EPPO PM 7/119 (1), wrzesień 2013 Instrukcja techniczna nr 2 wyd. 1 z dnia 07.09.2022 PB/N-07.00 wyd. 2 z dnia 08.07.2021
28.	Obecność grzybów fitopatogenicznych*	Rośliny/ części roślin	Symulacja zarodnikowania Metoda hodowlana Metoda obmywania i odwirowywania Metoda mikroskopowa	PB/M-03.00 wyd. 3 z dnia 06.07.2021
29.	Inne (zgodne z kierunkiem badań wskazanym przez klienta)*	Metody badawcze przyjęte do stosowania w PIORiN		

Badania wykonywane w oparciu o metody badawcze wymienione w tabeli, spełniają wymagania normy PN-EN ISO/IEC 17025:2018-02, za wyjątkiem metod oznaczonych *.

sporządził:	imię i nazwisko Alina Marciniak	zatwierdził:	imię i nazwisko Anna Misiuk
podpis: 	data: 07.11.2024	podpis: 	data: 07.11.2024

